FQD1N60C / FQU1N60C

600V N-Channel MOSFET

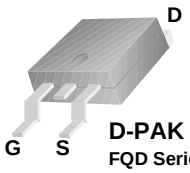
General Description

These N-Channel enhancement mode power field effect transistors are produced using Corise Semiconductorÿs proprietary, planar stripe, DMOS technology.

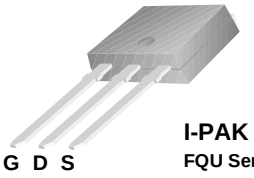
This advanced technology has been especially tailored to minimize on-state resistance, provide superior switching performance, and withstand high energy pulse in the avalanche and commutation mode. These devices are well suited for high efficiency switch mode power supply.

Features

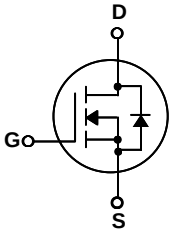
- 1A, 600V, $R_{DS(on)}$ = 11.5Ω @V_{GS} = 10 V
- Low gate charge (typical 4.8nC)
- Low Crss (typical 3.5 pF)
- Fast switching
- 100% avalanche tested
- Improved dv/dt capability



D-PAK
FQD Series



I-PAK
FQU Series



Absolute Maximum Ratings

T_C = 25°C unless otherwise noted

Symbol	Parameter		FQD1N60C / FQU1N60C	Units
V_{DSS}	Drain-Source Voltage		600	V
I_D	Drain Current - Continuous (T_C = 25°C)		1	A
	- Continuous (T_C = 100°C)		0.6	A
I_{DM}	Drain Current - Pulsed	(Note 1)	4	A
V_{GSS}	Gate-Source Voltage		± 30	V
E_{AS}	Single Pulsed Avalanche Energy	(Note 2)	33	mJ
I_{AR}	Avalanche Current	(Note 1)	1	A
E_{AR}	Repetitive Avalanche Energy	(Note 1)	2.8	mJ
dv/dt	Peak Diode Recovery dv/dt	(Note 3)	4.5	V/ns
P_D	Power Dissipation (T_A = 25°C)*		2.5	W
	Power Dissipation (T_C = 25°C)		28	W
	- Derate above 25°C		0.22	W/°C
T_J, T_{STG}	Operating and Storage Temperature Range		-55 to +150	°C
T_L	Maximum lead temperature for soldering purposes, 1/8" from case for 5 seconds		300	°C

Thermal Characteristics

Symbol	Parameter	Typ	Max	Units
$R_{\theta JC}$	Thermal Resistance, Junction-to-Case	--	4.53	°C/W
$R_{\theta JA}$	Thermal Resistance, Junction-to-Ambient*	--	50	°C/W
$R_{\theta JA}$	Thermal Resistance, Junction-to-Ambient	--	110	°C/W

Symbol	Parameter	Test Conditions	Min	Typ	Max	Units
Off Characteristics						
BV_{DSS}	Drain-Source Breakdown Voltage	V_{GS} = 0 V, I_D = 250 μA	600	--	--	V
ΔBV_{DSS} / ΔT_J	Breakdown Voltage Temperature Coefficient	I_D = 250 μA, Referenced to 25°C	--	0.6	--	V/°C
I_{DSS}	Zero Gate Voltage Drain Current	V_{DS} = 600 V, V_{GS} = 0 V	--	--	1	μA
		V_{DS} = 480 V, T_C = 125°C	--	--	10	μA
I_{GSSF}	Gate-Body Leakage Current, Forward	V_{GS} = 30 V, V_{DS} = 0 V	--	--	100	nA
I_{GSSR}	Gate-Body Leakage Current, Reverse	V_{GS} = -30 V, V_{DS} = 0 V	--	--	-100	nA
On Characteristics						
$V_{GS(th)}$	Gate Threshold Voltage	V_{DS} = V_{GS}, I_D = 250 μA	2.0	--	4.0	V
$R_{DS(on)}$	Static Drain-Source On-Resistance	V_{GS} = 10 V, I_D = 0.5 A	--	9.3	11.5	Ω
g_{FS}	Forward Transconductance	V_{DS} = 40 V, I_D = 0.5 A (Note 4)	--	0.75	--	S
Dynamic Characteristics						
C_{iss}	Input Capacitance	V_{DS} = 25 V, V_{GS} = 0 V, f = 1.0 MHz	--	130	170	pF
C_{oss}	Output Capacitance		--	19	25	pF
C_{rss}	Reverse Transfer Capacitance		--	3.5	4.5	pF
Switching Characteristics						
$t_{d(on)}$	Turn-On Delay Time	V_{DD} = 300 V, I_D = 1.1 A, R_G = 25 Ω (Note 4, 5)	--	7	24	ns
t_r	Turn-On Rise Time		--	21	52	ns
$t_{d(off)}$	Turn-Off Delay Time		--	13	36	ns
t_f	Turn-Off Fall Time		--	27	64	ns
Q_g	Total Gate Charge	V_{DS} = 480 V, I_D = 1.1 A, V_{GS} = 10 V (Note 4, 5)	--	4.8	6.2	nC
Q_{gs}	Gate-Source Charge		--	0.7	--	nC
Q_{gd}	Gate-Drain Charge		--	2.7	--	nC
Drain-Source Diode Characteristics and Maximum Ratings						
I_S	Maximum Continuous Drain-Source Diode Forward Current		--	--	1	A
I_{SM}	Maximum Pulsed Drain-Source Diode Forward Current		--	--	4	A
V_{SD}	Drain-Source Diode Forward Voltage	V_{GS} = 0 V, I_S = 0.5 A	--	--	1.4	V
t_{rr}	Reverse Recovery Time	V_{GS} = 0 V, I_S = 1.1 A, dI_F / dt = 100 A/μs (Note 4)	--	190	--	ns
Q_{rr}	Reverse Recovery Charge		--	0.53	--	μC

Notes:
1. Repetitive Rating : Pulse width limited by maximum junction temperature
2. L = 59 mH, I_{AS} = 1.1 A, V_{DD} = 50V, R_G = 25 Ω, Starting T_J = 25°C
3. I_{SD} ≤ 1.1 A, di/dt ≤ 200A/μs, V_{DD} ≤ BV_{DSS}, Starting T_J = 25°C
4. Pulse Test : Pulse width ≤ 300μs, Duty cycle ≤ 2%
5. Essentially independent of operating temperature

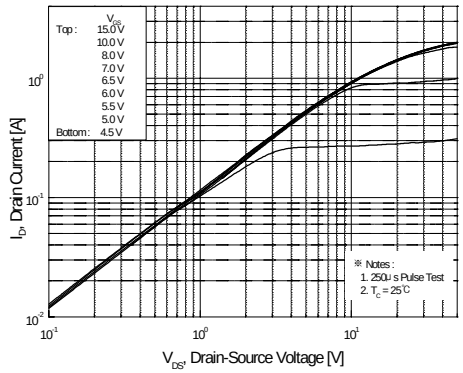


Figure 1. On-Region Characteristics

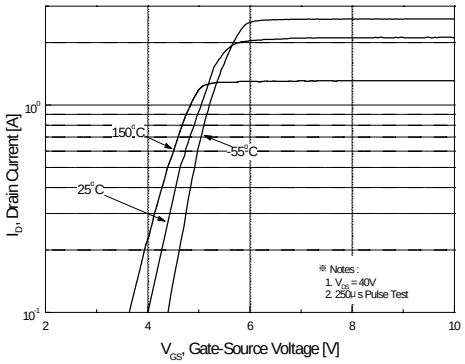


Figure 2. Transfer Characteristics

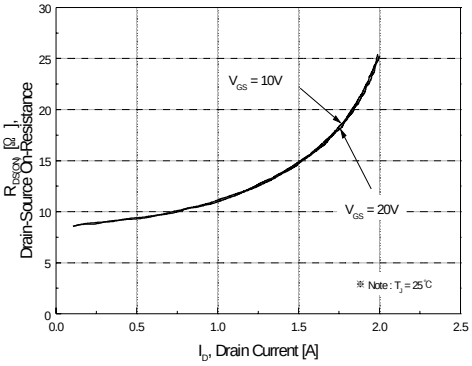


Figure 3. On-Resistance Variation vs Drain Current and Gate Voltage

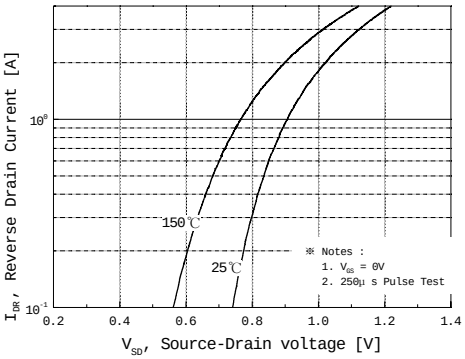


Figure 4. Body Diode Forward Voltage Variation with Source Current and Temperature

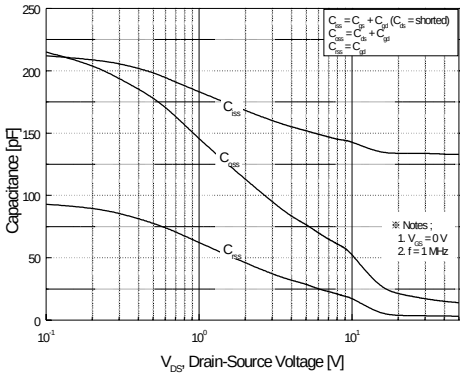


Figure 5. Capacitance Characteristics

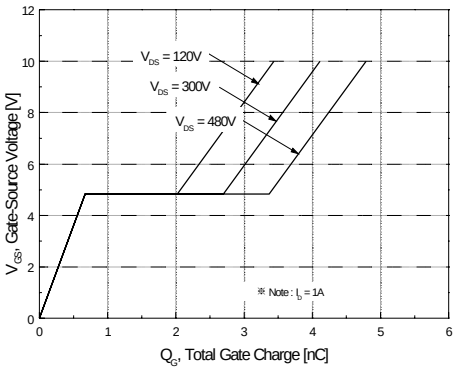


Figure 6. Gate Charge Characteristics

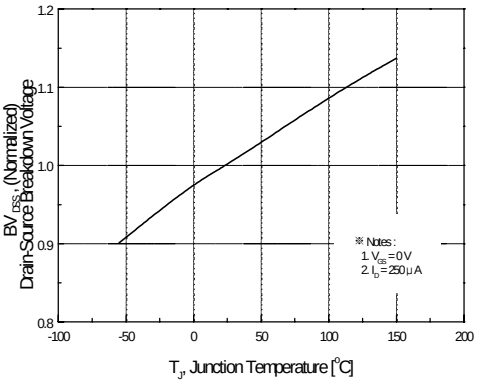


Figure 7. Breakdown Voltage Variation vs Temperature

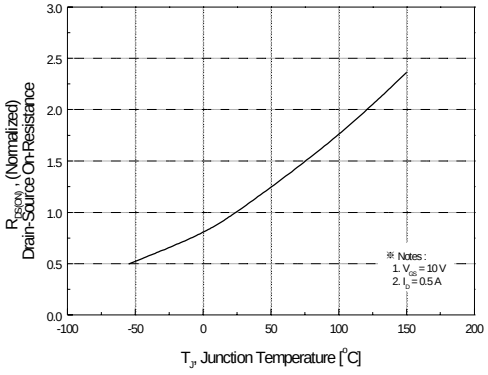


Figure 8. On-Resistance Variation vs Temperature

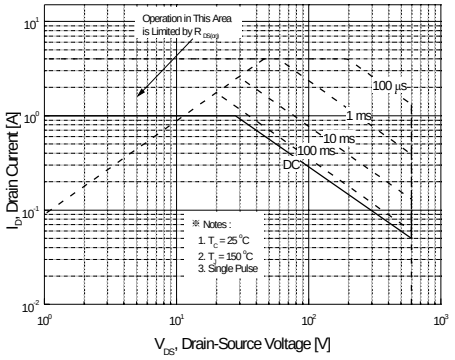


Figure 9. Maximum Safe Operating Area

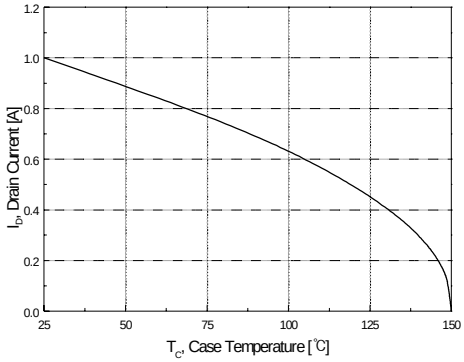


Figure 10. Maximum Drain Current vs Case Temperature

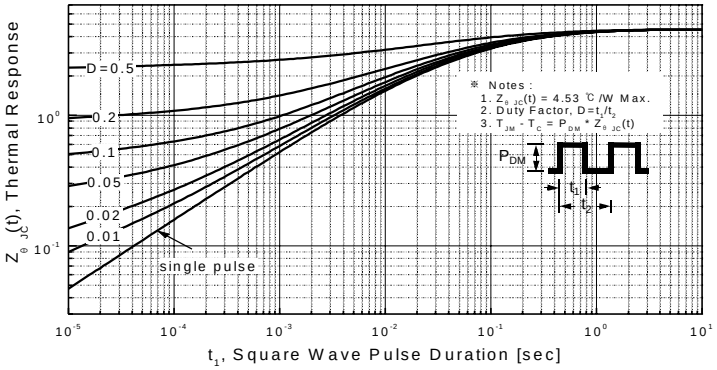
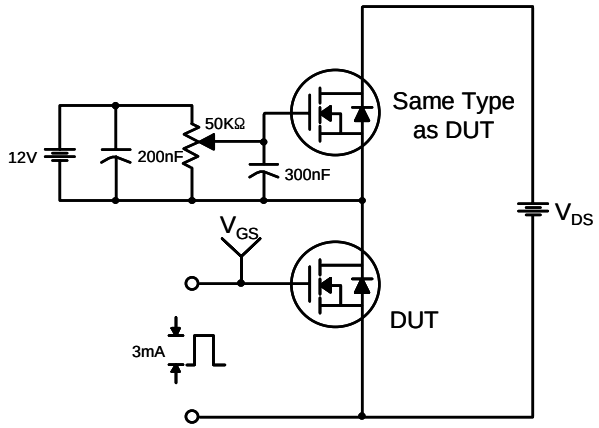
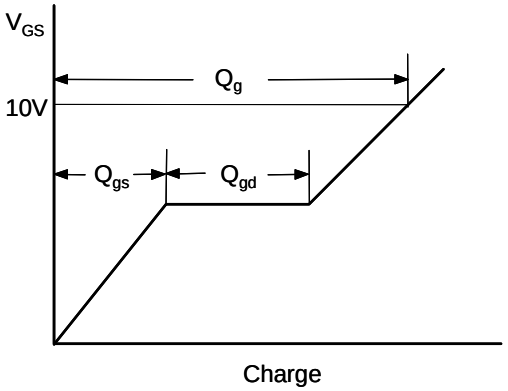
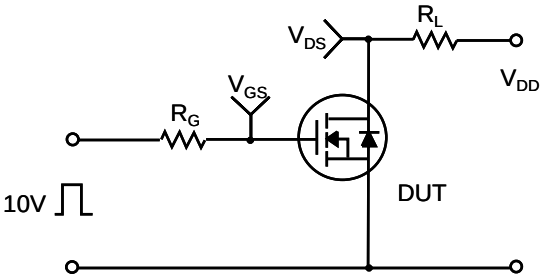


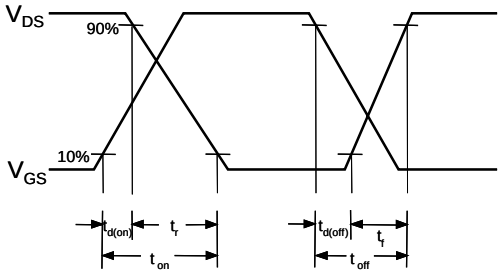
Figure 11. Transient Thermal Response Curve



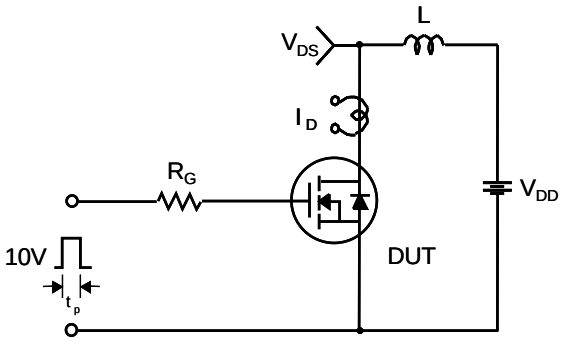


Resistive Switching Test Circuit & Waveforms

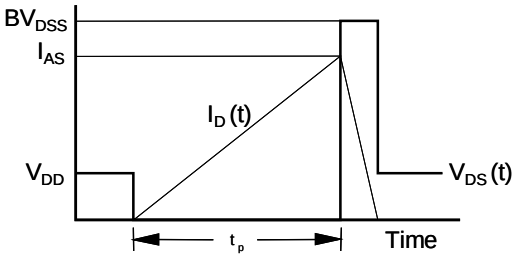


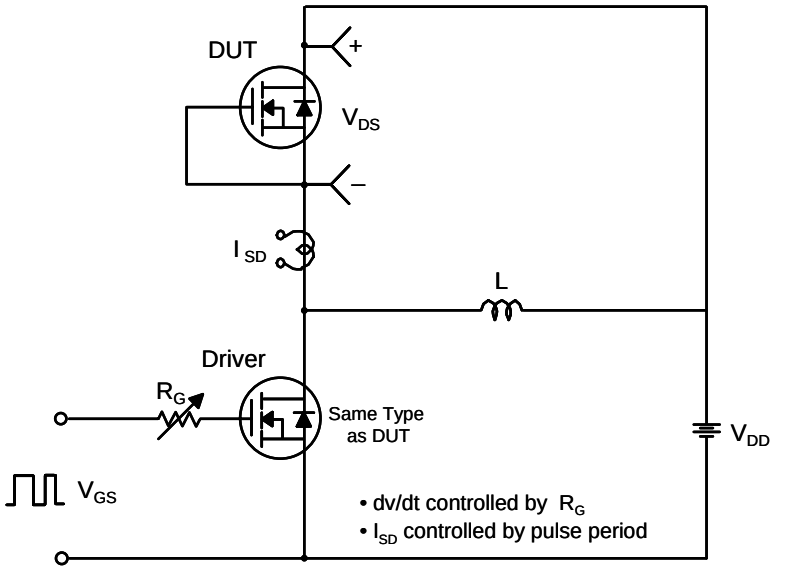


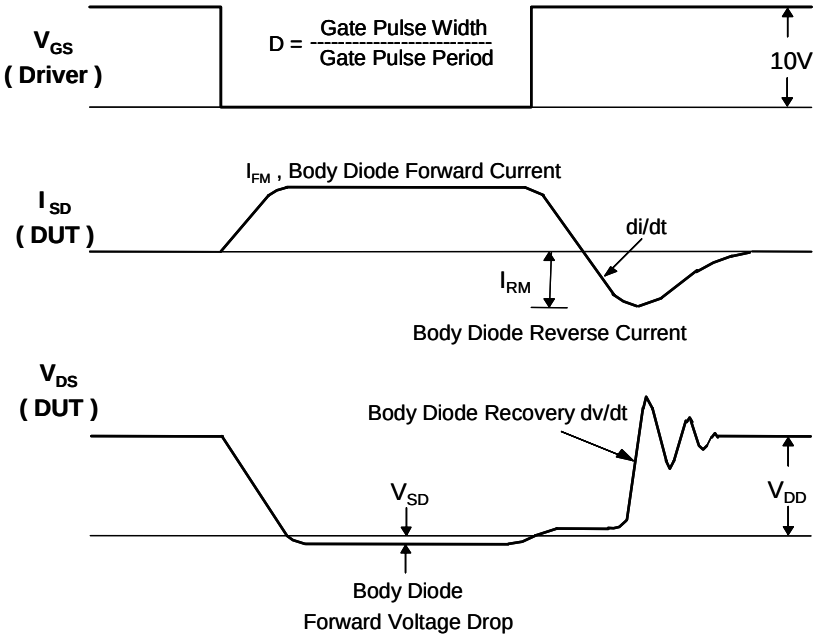
Unclamped Inductive Switching Test Circuit & Waveforms



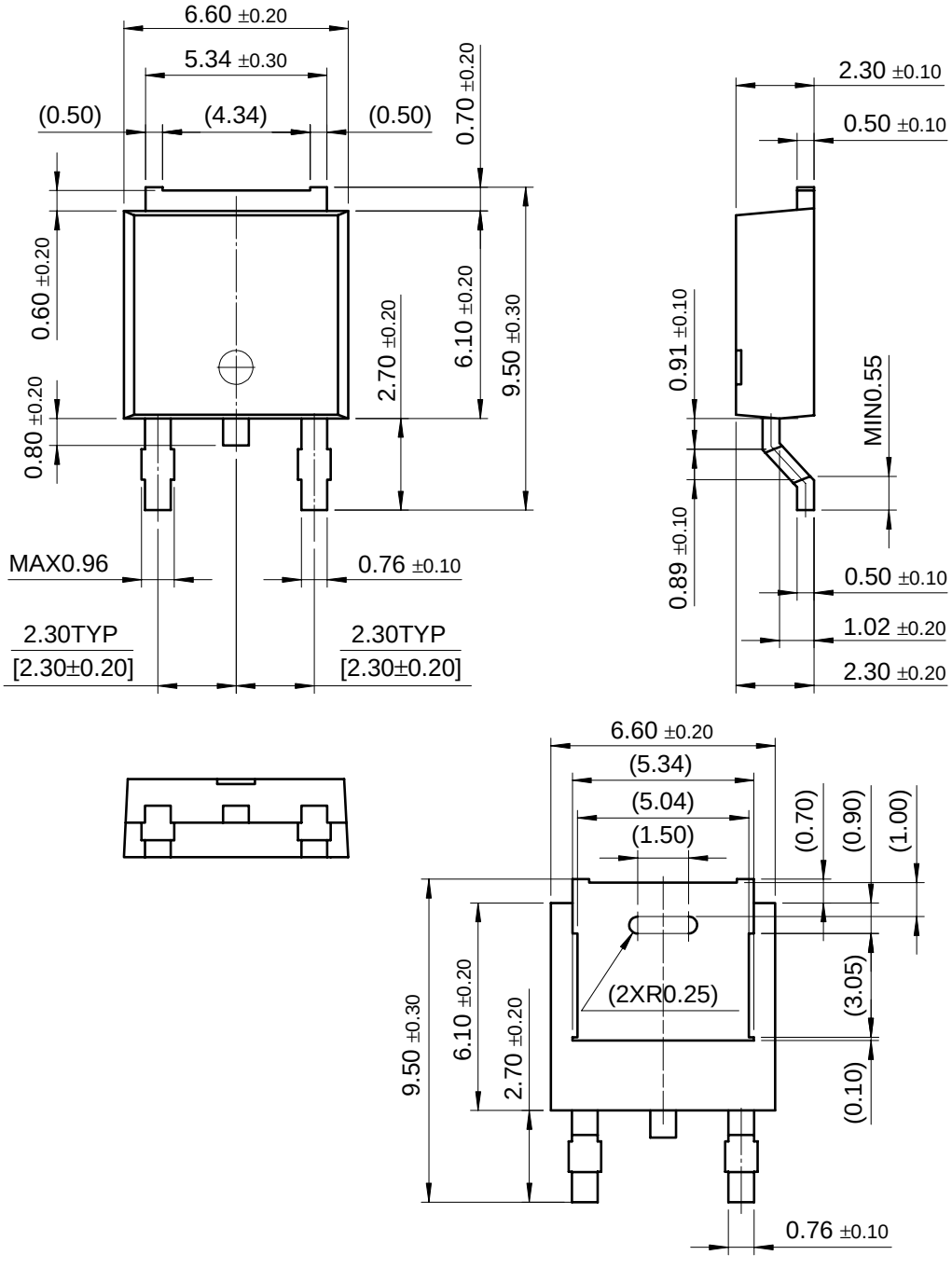
$$E_{AS} = \frac{1}{2} L I_{AS}^2 \frac{BV_{DSS}}{BV_{DSS} - V_{DD}}$$



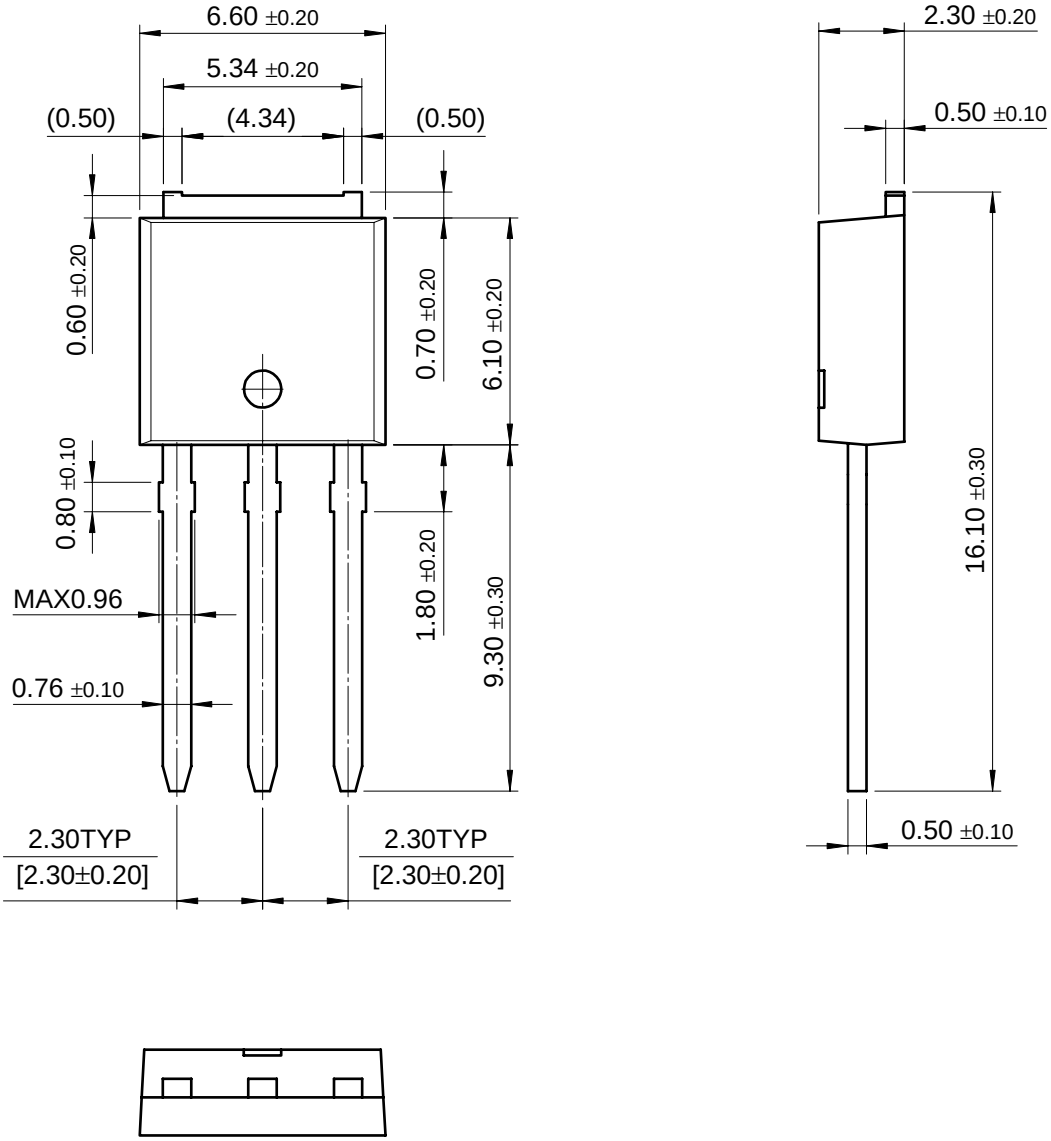

DUT
+
V_{DS}
–
I_{SD}
L
Driver
R_G
Same Type
as DUT
V_{DD}
V_{GS}
• dv/dt controlled by R_G
• I_{SD} controlled by pulse period


V_{GS}
(Driver)
D = Gate Pulse Width / Gate Pulse Period
10V
I_{FM} , Body Diode Forward Current
I_{SD}
(DUT)
di/dt
I_{RM}
Body Diode Reverse Current
V_{DS}
(DUT)
Body Diode Recovery dv/dt
V_{SD}
V_{DD}
Body Diode
Forward Voltage Drop

D-PAK


6.60 ±0.20
5.34 ±0.30
(0.50)
(4.34)
(0.50)
0.70 ±0.20
0.60 ±0.20
0.80 ±0.20
2.70 ±0.20
6.10 ±0.20
9.50 ±0.30
MAX0.96
0.76 ±0.10
2.30TYP
[2.30±0.20]
2.30TYP
[2.30±0.20]
2.30 ±0.10
0.50 ±0.10
0.91 ±0.10
MIN0.55
0.89 ±0.10
0.50 ±0.10
1.02 ±0.20
2.30 ±0.20
6.60 ±0.20
(5.34)
(5.04)
(1.50)
(0.70)
(0.90)
(1.00)
(2XR0.25)
(3.05)
(0.10)
9.50 ±0.30
6.10 ±0.20
2.70 ±0.20
0.76 ±0.10

I-PAK


6.60 ±0.20
5.34 ±0.20
(0.50)
(4.34)
(0.50)
0.60 ±0.20
0.70 ±0.20
6.10 ±0.20
0.80 ±0.10
1.80 ±0.20
9.30 ±0.30
MAX0.96
0.76 ±0.10
2.30TYP
[2.30±0.20]
2.30TYP
[2.30±0.20]
2.30 ±0.20
0.50 ±0.10
16.10 ±0.30
0.50 ±0.10

OCEAN CHIPS
Океан Электроники
Поставка электронных компонентов

Компания «Океан Электроники» предлагает заключение долгосрочных отношений при поставках импортных электронных компонентов на взаимовыгодных условиях!

Наши преимущества:

- Поставка оригинальных импортных электронных компонентов напрямую с производств Америки, Европы и Азии, а так же с крупнейших складов мира;
- Широкая линейка поставок активных и пассивных импортных электронных компонентов (более 30 млн. наименований);
- Поставка сложных, дефицитных, либо снятых с производства позиций;
- Оперативные сроки поставки под заказ (от 5 рабочих дней);
- Экспресс доставка в любую точку России;
- Помощь Конструкторского Отдела и консультации квалифицированных инженеров;
- Техническая поддержка проекта, помощь в подборе аналогов, поставка прототипов;
- Поставка электронных компонентов под контролем ВП;
- Система менеджмента качества сертифицирована по Международному стандарту ISO 9001;
- При необходимости вся продукция военного и аэрокосмического назначения проходит испытания и сертификацию в лаборатории (по согласованию с заказчиком);
- Поставка специализированных компонентов военного и аэрокосмического уровня качества (Xilinx, Altera, Analog Devices, Intersil, Interpoint, Microsemi, Actel, Aeroflex, Peregrine, VPT, Syfer, Eurofarad, Texas Instruments, MS Kennedy, Miteq, Cobham, E2V, MA-COM, Hittite, Mini-Circuits, General Dynamics и др.);

Компания «Океан Электроники» является официальным дистрибьютором и эксклюзивным представителем в России одного из крупнейших производителей разъемов военного и аэрокосмического назначения «**JONHON**», а так же официальным дистрибьютором и эксклюзивным представителем в России производителя высокотехнологичных и надежных решений для передачи СВЧ сигналов «**FORSTAR**».

AVIC JONHON

«JONHON» (основан в 1970 г.)

Разъемы специального, военного и аэрокосмического назначения:

(Применяются в военной, авиационной, аэрокосмической, морской, железнодорожной, горно- и нефтедобывающей отраслях промышленности)

«FORSTAR» (основан в 1998 г.)

ВЧ соединители, коаксиальные кабели, кабельные сборки и микроволновые компоненты:

(Применяются в телекоммуникациях гражданского и специального назначения, в средствах связи, РЛС, а так же военной, авиационной и аэрокосмической отраслях промышленности).

FORSTAR®

Телефон: 8 (812) 309-75-97 (многоканальный)
Факс: 8 (812) 320-03-32
Электронная почта: ocean@oceanchips.ru
Web: http://oceanchips.ru/
Адрес: 198099, г. Санкт-Петербург, ул. Калинина, д. 2, корп. 4, лит. А